

网络出版时间:2013-06-20 16:22
网络出版地址:<http://www.cnki.net/kcms/detail/61.1390.S.20130620.1622.032.html>

甜玉米果皮厚度主基因+多基因遗传效应分析

刘鹏飞^{a,b},蒋 锋^{a,b},乐素菊^b,张姿丽^{a,b},
陈青春^{a,b},张 媛^b,王晓明^{a,b}

(仲恺农业工程学院 a 农学院, b 作物研究所, 广东 广州 510225)

[摘要] 【目的】研究甜玉米果皮厚度的遗传模式,为甜玉米品质改良和分子标记辅助选择提供理论依据。
[方法]以果皮厚度有显著差异的甜玉米自交系 T4 和 T19 为亲本配制杂交组合,用主基因+多基因混合遗传模型及 P_1, P_2, F_1, B_1, B_2 和 F_2 共 6 个世代联合分析的方法,对甜玉米果皮厚度性状进行分析。**[结果]**果皮厚度的最适遗传模型为 D-2,即 1 对加性主基因+加性-显性多基因混合遗传;主基因遗传率大于相应分离世代的多基因遗传率, B_1, B_2, F_2 群体的主基因遗传率分别为 59.65%, 55.17% 和 65.24%, 多基因遗传率分别为 37.84%, 41.40% 和 32.65%, 主基因的加性效应值为 -27.1864, 多基因的加性效应值为 0.2895, 显性效应值为 5.7423。**[结论]**甜玉米果皮厚度以主基因遗传为主,育种中既要重视利用主基因,也要考虑多基因对性状的影响。

[关键词] 甜玉米;果皮厚度;主基因+多基因;遗传效应

[中图分类号] S513.032

[文献标志码] A

[文章编号] 1671-9387(2013)07-0043-06

Major genes and polygenes inheritance for pericarp thickness of sweet corn

LIU Peng-fei^{a,b}, JIANG Feng^{a,b}, YUE Su-ju^b, ZHANG Zi-li^{a,b},
CHEN Qing-chun^{a,b}, ZHANG Yuan^b, WANG Xiao-ming^{a,b}

(a College of Agronomy, b Crop Research Institute, Zhongkai University of Agriculture and Engineering,
Guangzhou, Guangdong 510225, China)

Abstract: 【Objective】The aim was to study the genetic mode of sweet corn pericarp thickness to improve sweet corn breeding and molecular marker-assisted selection (MAS).【Method】Cross combination was designed by selecting two sweet corn inbred (T4 and T19) with different pericarp thicknesses. A joint analysis of six generations (P_1, P_2, F_1, B_1, B_2 and F_2) from a cross of T19 × T4 was performed using the mode of major genes and polygenes mixed inheritance of quantitative traits.【Result】The result showed that the best genetic model for pericarp thickness was D-2 (one major gene with additive effect and polygene with additive-dominant effect). The heritabilities of major genes were greater than polygenes in the corresponding separation of generation. The major gene heritabilities of B_1, B_2 , and F_2 were 59.65%, 55.17%, and 65.24% respectively, and their heritabilities of corresponding polygenes were 37.84%, 41.40%, and 32.65% respectively. Major genes additive effect was -27.1864, polygenes additive effect was 0.2895, and dominant effect was 5.7423.【Conclusion】The inheritance of the major gene was dominant in pericarp thickness. These results suggested that the attention should be paid to both major genes and polygenes.

* [收稿日期] 2012-10-11

[基金项目] 国家农业部公益性行业专项(201303008);广东省科技计划项目(2010B020302010, 2012B020301006)

[作者简介] 刘鹏飞(1982—),男,甘肃会宁人,讲师,主要从事玉米遗传育种研究。E-mail:lpf2004buildit@yahoo.com.cn

[通信作者] 王晓明(1956—),男,甘肃甘谷人,教授,博士生导师,主要从事玉米遗传育种研究。E-mail:wxm1724@sina.com

when breeding sweet corn.

Key words: sweet corn; pericarp thickness; major gene and polygene; gene effect

甜玉米因其具有独特的营养价值和特有的风味而被誉为“果蔬型玉米”,倍受消费者青睐^[1]。甜玉米品质包括甜度、柔嫩度、香味、风味等指标^[1-2]。随着人们生活水平的提高及甜玉米产业的发展,人们对甜玉米品质的要求越来越高,与世界先进水平相比,果皮偏厚一直是我国甜玉米品质差的主要原因和育种的瓶颈^[3]。近年来的生产实践表明,许多甜玉米品种甜、香,但吃起来皮较厚、渣多、口感较差^[4]。玉米果皮是由子房壁形成的果皮和珠被形成的种皮复合而成,受母本的影响较大,是籽粒的保护层^[5]。玉米果皮厚度一般为 40~250 μm,果皮细胞的层数为 2~18 层,每层细胞厚度约为 18 μm^[6]。Georgiev^[7]曾分析了 194 个玉米杂交种,果皮厚度 48~122 μm;分析了 79 个玉米自交系,果皮厚度 42~124 μm,果皮厚薄有很大差异。果皮柔嫩度是指果皮因咀嚼而破碎的能力,是影响玉米食味品质和加工品质的主要因素之一,与果皮厚度相关密切^[8-9]。Tracy 和 Schmidt^[10]研究认为,甜玉米籽粒果皮厚度是决定其口感品质最重要的因子之一,籽粒的柔嫩度是由籽粒种皮的厚度所决定的,且柔嫩度和籽粒种皮厚度呈负相关。Bailey 等^[11]研究认为,糯玉米柔嫩度、籽粒种皮厚度是严重影响鲜食口感的首要因素。由此可见,果皮厚度对评价鲜食甜玉米适口性十分重要^[12]。因此,甜玉米果皮厚度遗传模型及效应的分析,对甜玉米品质的遗传改良具有重要意义。

目前,关于甜玉米果皮厚度的遗传效应及 QTL 定位的研究已有报道。薄果皮及厚果皮杂交 F₁ 代的果皮都偏薄,表明薄果皮对厚果皮具有部分显性效应^[13]。Wang 等^[14]利用分子标记分析控制玉米果皮厚度性状基因数(QTL),发现在第 1,2,6 染色体上的 3 个基因与玉米果皮厚薄有关。而对于甜玉米果皮厚度的主基因十多基因遗传模型研究尚未见报道。本研究利用主基因十多基因遗传模型,研究了甜玉米的重要品质性状果皮厚度的遗传模式,旨在为甜玉米的品质改良及分子标记辅助选择(MAS)提供理论依据。

1 材料与方法

1.1 供试材料与田间试验

试验采用仲恺农业工程学院特用玉米课题组选

育的 2 个果皮厚度差异显著的自交系 T4 和 T19,其中 T4 是超甜玉米与普通硬粒玉米转育的稳定自交系,果皮较厚,为 (216.6 ± 4.2) μm; T19 是从海南引进的超甜玉米品种中选育的自交系,果皮较薄,为 (162.7 ± 3.1) μm。

2010-09 在仲恺农业工程学院钟村教学农场,利用果皮厚度差异显著的 2 个超甜玉米自交系 T4 和 T19,配置杂交组合获得 F₁ 杂交种。2011 年 3 月初,种植 F₁,自交获得 F₂,同时将 2 个亲本与 F₁ 回交获得 B₁、B₂ 群体。2011-09 种植 2 个亲本 P₁(T19) 和 P₂(T4)、F₁、F₂、B₁、B₂ 共 6 个世代。行距 60 cm,株距 30 cm,行长 5 m,四周设置保护行,于鲜穗采收期测定每株玉米的果皮厚度。田间栽培及管理略高于大田生产。

1.2 果皮厚度的测定

在果穗中部用镊子剥取 10 粒籽粒,再用镊子和手术刀片剖取籽粒顶部果皮,然后用手术刀片将果皮切成很薄的切片,利用数显外径千分尺测量果皮厚度。将千分尺的 2 个测量面擦干净,校零。然后将千分尺手柄反向旋转到测量面的间隙大于被测物(目视),将被测物水平放置在千分尺的静测量面,接着转动千分尺手柄,听到千分尺手柄打滑的声音时,停止转动并读取千分尺读数。取平均值作为每株果皮厚度的测定值。

1.3 数据处理

利用 P₁、P₂、F₁、F₂、B₁、B₂ 6 个世代,应用联合世代主基因十多基因混合遗传模型,对 T19 × T4 组合的各世代果皮厚度进行分析。通过比较各备选模型的极大似然函数值(MLV)、AIC 值和每个世代的 5 个适合性检验参数(U_1^2 、 U_2^2 、 U_3^2 、 $_{n}W^2$ 和 D_n)的值,确定最佳遗传模型,应用最小二乘法估算出一阶遗传参数和二阶遗传参数。利用 Excel 2003 进行次数分布分析,采用植物数量性状混合遗传模型主基因十多基因多世代联合分析软件,进行模型分析和遗传参数估计^[15-17]。

2 结果与分析

2.1 甜玉米不同世代群体果皮厚度的频数分布

甜玉米果皮厚度表现为数量性状特性。从表 1 可见,P₁、P₂、F₁、B₁、B₂ 和 F₂ 6 个世代之间果皮厚度表现差异明显。T19(25 株)平均果皮厚度为

(162.7 ± 3.1) μm , T4(25 株)平均果皮厚度为 (216.6 ± 4.2) μm , 双亲差异显著, F_1 (20 株)群体平均果皮厚度为 (175.6 ± 3.1) μm , 介于双亲之间, 表现为偏低亲优势, 倾向于 T19; B_1 (106 株)群体平均

果皮厚度为 (171.9 ± 26.4) μm , B_2 (158 株)群体平均果皮厚度为 (185.9 ± 33.6) μm ; F_2 (312 株)群体平均果皮厚度为 (206.3 ± 46.4) μm , 大于双亲平均值 $189.7 \mu\text{m}$, 且呈近似正态的连续分布(图 1)。

表 1 T19×T4 组合的不同世代群体果皮厚度的频数分布

Table 1 Pericarp thickness distribution of different generations derived from T19 and T4

果皮厚度/ μm Pericarp thickness	频数分布 Frequency distribution					
	P ₁ (T19)	P ₂ (T4)	F ₁	B ₁	B ₂	F ₂
(115~125]				4	2	8
(125~135]				8	4	16
(135~145]				6	18	8
(145~155]				8	8	8
(155~165]	18			12	12	22
(165~175]	7		7	16	14	18
(175~185]			13	18	28	28
(185~195]				13	20	22
(195~205]				11	6	30
(205~215]		10		5	18	26
(215~225]		14		1	6	24
(225~235]		1		1	10	14
(235~245]				2	6	26
(245~255]				1		10
(255~265]					2	16
(265~275]					2	12
(275~285]					2	24
平均值/ μm Mean	162.7±3.1	216.6±4.2	175.6±3.1	171.9±26.4	185.9±33.6	206.3±46.4

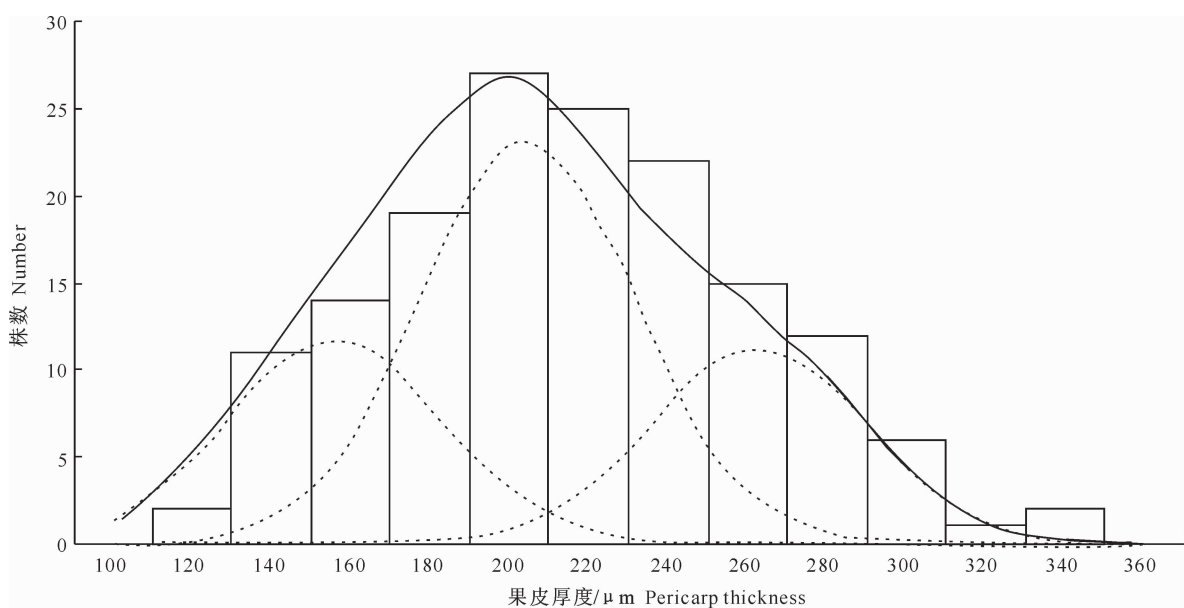


图 1 D-2 模型下 T19×T4 组合 F_2 群体甜玉米果皮厚度的频数分布

柱形图、实线和虚线分别代表总体的实际分布、D-2 模型下总体的理论分布和 D-2 模型下各遗传组分的理论分布

Fig. 1 Pericarp thickness distribution in F_2 population of the cross T19×T4

Column chart, solid line as well as dashed lines represent total actual distribution,

total theoretical distribution and theoretical distribution of each genetic component under the condition of
the best-fitting D-2 genetic model with two major genes, respectively

2.2 甜玉米果皮厚度的主基因+多基因混合遗传模型

2.2.1 备选遗传模型的筛选 根据 T19×T4 组合

6 个世代的遗传分析方法, 通过计算 A-1~E-6 共 5 类 24 个遗传模型的极大似然函数值和 AIC 值确定各个模型的符合程度, 进而筛选出 20 个较符合的备

选模型(表 2)。根据遗传模型选择的原则,即 AIC 值最小准则选定备选模型,模型间 AIC 值差异不大时,可以有几个备选模型,再进行一组样本分布与模

型所代表的理论分布间的适合性检验,确定最佳模型。依据表 2,AIC 值最小且接近的 4 个模型为 D-0、D-1、D-2 和 D-4,可作为备选模型。

表 2 T19×T4 组合各备选遗传模型的极大似然函数值和 AIC 值

Table 2 MLV and AIC values of candidate genetic models for combination of T19×T4

模型 Model	极大似然函数值 Max-likelihood-value	AIC 值 AIC value	模型 Model	极大似然函数值 Max-likelihood-value	AIC 值 AIC value
A-1	-2 824.793 5	5 657.586 9	D-2	-2 763.785 2	5 543.570 3
A-2	-2 833.362 8	5 672.725 6	D-3	-2 773.526 1	5 563.052 2
B-1	-2 814.209 7	5 648.419 4	D-4	-2 765.450 7	5 546.901 4
B-2	-2 820.717 5	5 653.435 1	E-0	-2 763.509 8	5 563.019 5
B-3	-2 934.811 3	5 877.622 6	E-1	-2 763.841 6	5 557.683 1
B-4	-2 847.786 4	5 701.572 8	E-2	-2 763.978 8	5 551.938 5
C-0	-2 773.518 6	5 567.037 1	E-3	-2 766.154 5	5 550.309 1
C-1	-2 773.519 8	5 561.039 6	E-4	-2 767.994 9	5 551.989 7
D-0	-2 763.969 2	5 549.957 5	E-5	-2 773.538 8	5 565.077 6
D-1	-2 763.785 2	5 545.570 3	E-6	-2 776.766 4	5 569.532 7

2.2.2 备选遗传模型的适合性检验 对表 2 中的 4 个模型进行适合性检验,4 个模型的适合性检验参数都未达到显著水平,但 D-2 模型的 AIC 值最小,因此,可初步认为 T19×T4 组合甜玉米果皮厚度的

最佳遗传模型为 D-2,即甜玉米果皮厚度性状表现为 1 对加性主基因+加性-显性多基因混合遗传(图 1),适合性检验参数值见表 3。

表 3 备选遗传模型的适合性检验

Table 3 Tests for suitability of candidate models for pericarp thickness

模型 Model	群体 Population	适合性检验参数 Parameter for goodness-of-fit				
		U_1^2	U_2^2	U_3^2	nW^2	D_n
D-2	P ₁	0.024(0.876 2)	0.041(0.840 0)	0.042(0.838 0)	0.030 5	0.087 6(0.320 6)
	F ₁	0.010(0.919 7)	0.006(0.936 5)	0.503(0.478 2)	0.043 2	0.144 5(0.320 6)
	P ₂	0.064(0.799 9)	0.014(0.904 4)	2.137(0.143 8)	0.098 5	0.143 5(0.283 6)
	B ₁	0.001(0.976 1)	0.002(0.968 6)	0.002(0.966 8)	0.011	0.030 2(0.134 0)
	B ₂	0.002(0.965 1)	0.002(0.960 7)	0.001(0.977 7)	0.014 8	0.029 4(0.108 9)
	F ₂	0.013(0.908 3)	0.006(0.940 4)	0.022(0.883 1)	0.017 5	0.021 2(0.077 2)

注:括号内数据为概率值。

Note: Value in parenthesis means probability.

2.3 甜玉米果皮厚度遗传模型的遗传参数估计

根据遗传模型选择的原则,选择 AIC 最小二乘法估计模型的遗传参数,结果见表 4。由表 4 可知,T19×T4 组合甜玉米果皮厚度的遗传体系由 1 对加性主基因+多对多基因构成。甜玉米 6 个家系果皮厚度的总体均值为 189.480 8。主基因的加性效应值(d)为负值(-27.186 4),表明自交系 T19 中含有降低玉米果皮厚度的主基因。多基因效应中,多基因的加性效应值([d])为 0.289 5,多基因的显性效应值([h])为 5.742 3,可见多基因的加性效应值明显小于多基因的显性效应值,[h]为正值说明果皮厚度多基因遗传存在显性正效应,倾向于果皮厚度高的亲本,[h]/[d]>1.5,说明多基因遗传存在超显性遗传。

从表 4 可以看出,B₁ 群体的主基因遗传率为

59.65%,多基因遗传率为 37.84%;B₂ 群体的主基因遗传率为 55.17%,多基因遗传率为 41.40%;F₂ 群体的主基因遗传率为 65.24%,多基因遗传率为 32.65%,主基因遗传率大于相应分离世代的多基因遗传率,由此可见甜玉米果皮厚度以主基因遗传为主。

总体而言,T19×T4 组合甜玉米果皮厚度的最适遗传模型为 D-2,即 1 对加性主基因+加性-显性多基因混合遗传,主基因遗传率大于相应分离世代的多基因遗传率,主要由主基因加性效应决定其遗传。多基因效应对该组合果皮厚度具有一定的影响,显性效应基因作用相对较小,环境对果皮厚度的影响很小。甜玉米果皮厚度以主基因遗传为主,育种中应重视利用主基因,同时也要考虑多基因对性状的影响。

表 4 T19×T4 组合甜玉米果皮厚度的遗传参数估计值

Table 4 Estimation of genetic parameters for pericarp thickness of combination T19×T4

一阶 First order		二阶 Second order			
参数 Parameter	估计值 Estimated value	参数 Parameter	B ₁ 估计值 Estimated value of B ₁	B ₂ 估计值 Estimated value of B ₂	F ₂ 估计值 Estimated value of F ₂
<i>m</i>	189.480 8	σ_p^2	473.29	346.16	562.81
<i>d</i>	-27.186 4	σ_{mg}^2	282.34	190.98	367.20
[<i>d</i>]	0.289 5	σ_{pg}^2	179.08	143.31	183.74
[<i>h</i>]	5.742 3	$h_{mg}^2 / \%$	59.65	55.17	65.24
		$h_{pg}^2 / \%$	37.84	41.40	32.65

注:*m*、*d*、[*d*]、[*h*]分别表示总体均值、主基因的加性效应值、多基因的加性效应值、多基因的显性效应值; σ_p^2 、 σ_{mg}^2 、 σ_{pg}^2 、 h_{mg}^2 、 h_{pg}^2 分别表示总体的表型方差、主基因方差、多基因方差、主基因遗传率和多基因遗传率。

Note: *m*, *d*, [*d*] and [*h*] respectively represent total phenotypic mean, major gene additive effect, polygene additive effect, polygene dominant effect, σ_p^2 , σ_{mg}^2 , σ_{pg}^2 , h_{mg}^2 and h_{pg}^2 respectively represent total phenotypic variance, major gene variance, polygene variance, major gene heritability and polygene heritability.

3 讨 论

甜玉米果皮厚度是数量性状,控制果皮厚度的多基因主要存在于核背景之中,但有几对 QTL 控制尚不十分清楚;此外,果皮厚度与核背景和胚乳基因间的互作也有关系^[18-20]。Azanza 等^[21]对 W6786 sulsel×IL731A sulsel 甜玉米组合的 214 个 $F_{2:3}$ 个体进行 QTL 分析,认为影响果皮厚度的有 8 个染色体片段。王晓明等^[4]研究表明,超甜玉米果皮厚度的遗传符合“加性-显性”模型,而且非固定遗传的显性成分起主要作用,也表现了一定的超显性特点,狭义遗传力是 29.6%,而控制果皮厚度的基因至少有 3 对以上。莫坚强等^[22]研究表明,超甜玉米果皮厚度遗传符合“加性-显性”模型,加性效应起主要作用,不存在上位性效应,且显性基因为减效基因,为不完全显性遗传。常大军等^[23]研究表明,糯玉米果皮厚度主要表现为加性遗传,杂交种果皮厚度在两亲本之间,有部分显性效应存在,即在单交种 F_1 代果皮厚度表现为偏向于果皮厚度薄的亲本。

主基因+多基因混合遗传模型实现了生统遗传学和孟德尔遗传学的统一^[16]。利用主基因+多基因遗传模型不但能检测主基因的存在,而且能计算主基因的遗传率,该研究方法对育种工作具有非常重要的指导意义。主基因+多基因模型能更全面、深入地分析数量性状的遗传特点。如果一个数量性状由少数主基因控制,则一般采用主基因的育种方法,通过杂交、回交转移主基因等方法进行遗传改良和选择;如果一个数量性状由主基因和多基因共同控制,则需先明确是主基因为主,还是多基因为主,以便采用相应的育种方法^[24]。

本研究利用主基因+多基因遗传模型进行甜玉米果皮厚度遗传分析,结果表明,果皮厚度遗传均符

合“加性-显性”模型,都不存在上位性效应,该结果与前人的研究结论^[4,22]有相似之处。本研究结果还表明,果皮厚度以 1 对加性主基因遗传为主,与前人研究的显性基因遗传为主不同,这可能与不同的试验分析方法及不同材料的遗传背景有关。关于甜玉米主基因+多基因遗传模型的研究尚未见相关报道,以后还需继续进行不同年份、不同地点、不同组合、不同群体的研究,以尽可能消除环境及遗传背景的影响,找出在不同环境和不同遗传背景下的遗传模型,为甜玉米品质遗传改良、分子辅助选择提供一定的理论依据。

4 结 论

应用主基因+多基因混合遗传模型多世代联合分析方法,对甜玉米 T19×T4 组合后代的果皮厚度进行遗传分析,结果表明,甜玉米的果皮厚度主要由 1 对加性主基因+加性-显性多基因所控制,主基因加性效应为负,对果皮厚度有降低作用,多基因加性效应为正,使果皮厚度增加,主基因加性效应绝对值大于多基因加性效应绝对值。主基因遗传率大于相应分离世代的多基因遗传率,说明甜玉米果皮厚度以主基因遗传为主,果皮厚度的表型受环境因素影响很小。因此,育种实践中既要重视利用主基因,也要考虑多基因对性状的影响。可以采用聚回交或轮回选择来累积微效基因,从而提高育种效率。

[参考文献]

- [1] 周淑梅,李小琴.甜玉米果皮厚度研究的综述[J].作物杂志,2003(5):44-45.
Zhou S M, Li X Q. Advances of pericarp thickness in sweet corn [J]. Crops, 2003(5):44-45. (in Chinese)
- [2] 戴惠学,熊元忠,牛海建.甜玉米品质性状遗传研究进展[J].长江蔬菜,2007(10):28-30.

- Dai H X, Xiong Y Z, Niu H J. Advances of inheritance of quality characters in sweet corn [J]. Journal of Changjiang Vegetables, 2007(10): 28-30. (in Chinese)
- [3] 李小琴, 吴景强, 叶翠玉, 等. 我国甜玉米育种概况及面临的挑战 [J]. 作物杂志, 2002(5): 45-46.
- Li X Q, Wu J Q, Ye C Y, et al. Situation of sweet corn breeding and the challenge in future in China [J]. Crops, 2002(5): 45-46. (in Chinese)
- [4] 王晓明, 谢振文, 曾慕衡, 等. 超甜玉米果穗形态和品质性状的杂种优势及遗传特性分析 [J]. 中国农业科学, 2005, 38(9): 1931-1936.
- Wang X M, Xie Z W, Zeng M H, et al. Heterosis and inheritance analysis of ear shape and quality characters in super sweet corn [J]. Scientia Agricultura Sinica, 2005, 38(9): 1931-1936. (in Chinese)
- [5] 刘萍. 中国鲜食甜、糯玉米品种试验产量与品质评价体系的建设 [D]. 江苏扬州: 扬州大学, 2007: 10-11.
- Liu P. Establishment of yield and quality evaluation system of variety test in sweet corn and waxy corn of China [D]. Yangzhou, Jiangsu: Yangzhou University, 2007: 10-11. (in Chinese)
- [6] Galinat W C, Chandravadana P. Pericarp thickness and the origin of maize [J]. Maize Genet Coop Newsletter, 1977, 51: 43-44.
- [7] Georgiev. Rapid measurement of mature maize pericarp [J]. Maize Genet Coop Newsletter, 1978, 52: 124-125.
- [8] 王振华. 甜玉米品质性状与部分农艺性状的相关分析 [J]. 玉米科学, 1998, 6(2): 22-25.
- Wang Z H. Analysis of the correlations between the food qualities and some agronomic characters in sweet corn [J]. Journal of Maize Sciences, 1998, 6(2): 22-25. (in Chinese)
- [9] 洪雨年. 用测微计测定甜玉米果皮厚度 [J]. 上海农业学报, 1995, 11(4): 51-54.
- Hong Y N. Measurement and analysis of pericarp thickness on different genotypes of sweet corn (*Zea mays* L.) [J]. Acta Agriculturae Shanghai, 1995, 11(4): 51-54. (in Chinese)
- [10] Tracy W F, Schmidt K H. Effect of endosperm type on pericarp thickness in sweet corn inbreds [J]. Crop Sciences, 1987, 27(1): 692-694.
- [11] Bailey D M, Bailey R M. The relation of the pericarp to tenderness in sweet corn [J]. Proc Amer Soc Hort Sci, 1938, 36: 555-559.
- [12] 禹玉华, 段俊, 王子明. 影响超甜玉米子粒种皮厚度因子的关联分析 [J]. 玉米科学, 2003, 11(2): 19-21.
- Yu Y H, Duan J, Wang Z M. Grey correlative degree analysis of the factors influencing the grain pericarp thickness of super sweet corn hybrid [J]. Journal of Maize Sciences, 2003, 11(2): 19-21. (in Chinese)
- [13] Bertoia L M, Magoja J L. Perennial teosinte-Gaspe hybrids: Inheritance of pericarp thickness [J]. Maize Genet Coop Newsletter, 1986, 60: 86-87.
- [14] Wang B, Brewbaker J L. Quantitative trait loci affecting pericarp thickness of corn kernels [J]. Maydica, 2001, 46: 159-165.
- [15] 盖钧镒, 章元明, 王建康. 植物数量性状遗传体系 [M]. 北京: 科技出版社, 2003: 96-168.
- Gai J Y, Zhang Y M, Wang J K. Genetic system of quantitative traits in plants [M]. Beijing: Science and Technology Press, 2003: 96-168. (in Chinese)
- [16] 乐素菊, 汪文毅, 邵光金, 等. 茄子果形性状的主基因+多基因混合模型遗传分析 [J]. 华南农业大学学报, 2011, 32(3): 27-33.
- Yue S J, Wang W Y, Shao G J, et al. Analysis on mixed major gene and polygene inheritance of fruit morphological traits in eggplant [J]. Journal of South China Agricultural University, 2011, 32(3): 27-33. (in Chinese)
- [17] 蒋锋, 刘鹏飞, 王汉宁, 等. 玉米穗高系数的遗传分析与 QTL 定位研究 [J]. 中国农业大学学报, 2011, 16(4): 9-15.
- Jiang F, Liu P F, Wang H N, et al. Genetic analysis and QTL mapping for ear height coefficient in corn [J]. Journal of China Agricultural University, 2011, 16(4): 9-15. (in Chinese)
- [18] Huelsen W A. Sweet corn [M]. New York: Inter Sci Publishers Inc, 1954: 83-86.
- [19] Helm J L, Glover D V, Zuver M S. Effect of endosperm mutant on pericarp thinness in corn [J]. Crop Sciences, 1970, 10: 195-196.
- [20] Tracy W F, Juvik J A. Pericarp thickness of a sh₂ population of maize selected for improved field emergence [J]. Crop Sciences, 1989, 29(1): 72-74.
- [21] Azanza F, Tadmor Y, Klein B P. Quantitative trait loci influencing chemical and sensory characteristics of earing quality in sweet corn [J]. Genome, 1996, 9: 40-50.
- [22] 莫坚强, 李挺康, 陈自辉, 等. 超甜玉米果皮厚度遗传的研究 [J]. 广东农业科学, 2011(14): 13-17.
- Mo J Q, Li T K, Chen Z H, et al. Study of genetic of pericarp thickness in super sweet corn [J]. Guangdong Agricultural Science, 2011(14): 13-17. (in Chinese)
- [23] 常大军, 张亚田, 刘晓广, 等. 糯玉米果皮厚度遗传变异初探 [J]. 现代化农业, 1996, 4(2): 16-18.
- Chang D J, Zhang Y T, Liu X G, et al. Preliminary study of genetic and variation of pericarp thickness in waxy corn (*Zea mays* L. certina kulesht) [J]. Modernizing Agriculture, 1996, 4(2): 16-18. (in Chinese)
- [24] 包和平, 杨明, 李颖, 等. 爆裂玉米淀粉含量主基因+多基因遗传效应分析 [J]. 西北农林科技大学学报: 自然科学版, 2010, 38(3): 101-105.
- Bao H P, Yang M, Li Y, et al. Major genes of popcorn starch content plus polygenes analysis of genetic effects [J]. Journal of Northwest A&F University; Nat Sci Ed, 2010, 38(3): 101-105. (in Chinese)